

## 離散化波数法と有限要素法の組合せによる地盤震動解析手法

鹿島建設（株） 正員 藤村和也  
 京都大学防災研究所 正員 土岐憲三  
 京都大学防災研究所 正員 佐藤忠信  
 山口大学工学部 正員 清野純史

**1. 概説** 従来地盤震動解析のために、FEM、BEM、AL<sup>1)</sup>等の手法が開発されてきた。このうち、FEMは無限領域に適用することは難しく、BEM、ALは非線形、非均質性を考慮しにくい欠点がある。そのためそれらの結合手法が開発されており、特にFEMとALの結合手法<sup>2)</sup>は、演算時間の面で有利である。本研究ではAL法とFEMを結合する手法について、SH波入射を対象に、その妥当性、演算時間等を検討した。

**2. 定式化** 図1に示すような(m+1)層地盤について考える場合、第(1)層をFEMでモデル化し、残りの(2)~(m+1)のm層をAL法でモデル化する。

**2.1.FEM領域** FEM領域については、結合境界面上の節点を添字c、その他の節点を添字fで表すことになると、次式を得る。

$$\left[ \begin{array}{c|c} S_{ff} & S_{fc} \\ \hline S_{cf} & S_{cc} \end{array} \right] \left\{ \begin{array}{l} u_f \\ u_c \end{array} \right\} = \left\{ \begin{array}{l} f_f \\ f_c \end{array} \right\} \quad (1)$$

ここで、 $[S] = [[K] - \omega^2[M]]$ である。物体力を無視すると、境界面上の節点力と変位の関係式を得る。

$$\{f_c\} = [F_c]\{u_c\} \quad [F_c] = [S_{cc}] - [S_{cf}][S_{ff}]^{-1}[S_{fc}] \quad (2)$$

**2.2.AL領域** AL領域については波数の無限積分で表される変位の一般解を、離散化波数の有限和で表すことにより、AL領域の第(i)層( $i = 1 \sim m-1$ )、第(m)層内の変位を次式で表す。

・第(i)層内( $i = 1, \dots, m-1$ )

$$v^{(i)}(x, z) = \sum_{-N}^N [A^{(i)}(k_n) \exp(i\nu_n^{(i)}z) + B^{(i)}(k_n) \exp(-i\nu_n^{(i)}z)] \exp(ik_n x) \quad (3)$$

・第(m)層内

$$\begin{aligned} v^{(m)}(x, z) &= \sum_{-N}^N A^{(m)}(k_n) \exp(i\nu_n^{(m)}z) \exp(ik_n x) + \exp(ik_0 x - i\nu_0 z) \\ k_n &= k_0 + \frac{2\pi}{L}n \quad \nu_n^{(i)} = [\frac{\omega}{c_s^{(i)}}^2 - k_n^2]^{1/2} (n = \pm 1, \pm 2, \dots) \\ k_0 &= \frac{\omega}{c_s^{(m)}} \sin \theta \quad \nu_0 = \frac{\omega}{c_s^{(m)}} \cos \theta \end{aligned}$$

$$c_s^{(i)}: \text{層}(i)\text{の}S\text{波速度} \quad \theta: z\text{軸からの入射角} \quad (3)$$

上式中、 $A^{(i)}$ 、 $B^{(i)}$ はそれぞれ(i)層内の下降、上昇波の強度を表すもので散乱係数といわれる。上式を用いることにより、AL領域の最上境界面での変位、応力、第2~第m境界の変位応力の連続条件が、第(1)、(m)層内の散乱係数ベクトル $\{A^{(1)}\}$ 、 $\{A^{(m)}\}$ を用いて次式で表される。

$$\{u_1\} = [U_1]\{A^{(1)}\} : \text{境界面1の変位}$$

$$\{\tau_1\} = [T_1]\{A^{(1)}\} : \text{境界面1の応力}$$

$$[G_E]\{A^{(1)}\} = [G_M]\{A^{(m)}\} + \{H\} \quad (4)$$

**2.3. 結合** 以上で得られた式を結合境界面上での変位、応力の連続条件により結合する。FEM領域では節点力の形で応力が表されているので、分布応力を等価な節点力に変換する分布マトリクス[L]を導入する。これによりFEM領域での境界面上の応力は次式で表される。

$$\{\tau_c\} = [L]^{-1}\{f_c\} = [L]^{-1}[T_c]\{u_c\} \quad (5)$$

ここで  $\{u_c\} = \{u_1\}$  より次式を得る。

$$\{\tau_c\} = [L]^{-1}[T_c][U_1]\{A^{(1)}\} \quad (6)$$

AL 領域の境界面 1 上では、自由境界面で  $\{\tau_1\} = 0$ 、結合境界面で  $\{\tau_1\} = \{\tau_c\}$  であるので、この条件を適用し、係数行列の各列をフーリエ変換した後  $2N+1$  の長波長成分を抽出することにより、次式を得る。

$$[G_1]\{A^{(1)}\} = \{0\} \quad (7)$$

これを  $2 \sim M$  境界面の連続式と連立することにより、最終的に  $6N+3$  次の連立 1 次方程式を得る。

$$\begin{array}{|c|c|} \hline [G_1] & [0] \\ \hline [G_E] & [G_M] \\ \hline \end{array} \left\{ \begin{array}{l} A^{(1)} \\ \hline A^{(m)} \end{array} \right\} = \left\{ \begin{array}{l} 0 \\ H \end{array} \right\} \quad (8)$$

上式を解くことにより  $\{A^{(1)}\}$ 、 $\{A^{(m)}\}$  が得られ式(3)を適用することにより、AL 領域の任意の点での変位、応力が求められ、FEM 領域に関しては式(1)を適用することにより全節点の変位が求められる。

**3. 解析結果** 解析モデルを図 2 に示す。また、1.0Hz 調和波動入射時の解析結果を FE-BE 結合解法によるもの、AL 法のみによるものと併せて図 3 に示す。AL 領域に関する解析条件は離散地点数 64、打ち切り波数 31 であり、地盤周期長は、x 方向の分割長さが FEM 領域により決まるため、これと離散地点数により決定される。FEM 領域に関してはメッシュ長 20m を基本として、3 節点、4 節点の 1 次要素を用いて分割した。十分な精度で一致している。つぎに、周波数 0.1Hz から 5.0Hz までの誤差の評価を図 4 に示す。ここで誤差は FE-BE 結合解法において FEM 領域のメッシュ長を小さくしたもの (10m) を厳密解と仮定して評価した。精度の面では他手法とあまり変わらない。参考として計算時間の比較を表 1 に示す。FE-BE 結合解法と比べ、FE-AL 結合解法の方が有利である。本報では 2 層地盤を取り扱ったが、多層地盤においてはさらに FE-AL 結合解法の方が有利であると思われる。なお上記の計算は SONY NWS-3860 を用いて行った。

**参考文献** 1) Aki, k. and Larner, K.L. :Surface motion of a layered medium having an irregular interface due to incident plane SH waves, J.Geophys. Res., Vol.75,pp.933-954,1970. 2) 源栄正人・浦尾謙二：波数離散化型解法を用いた不規則不整形地盤の波動伝播解析－波数離散化型解法と FEM の結合解法－, 日本建築学会学術講演概要集, 1989.

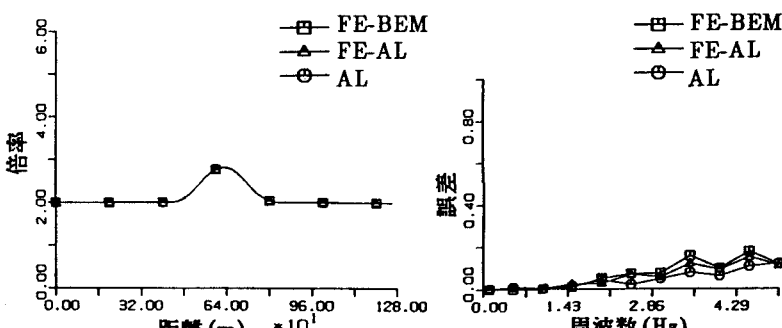
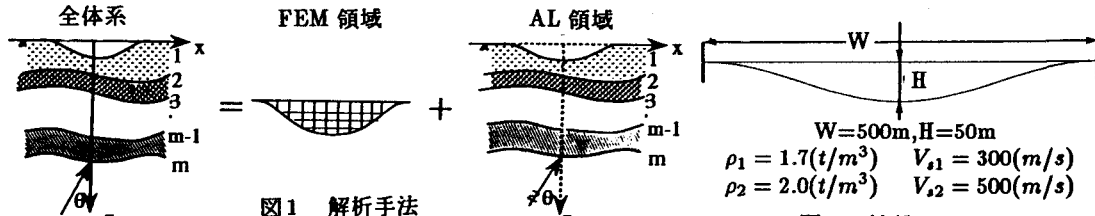


図 4 誤差の評価

表 1 演算時間の比較

FE-BE	32.8s
AL	6.4s
FE-AL	18.5s